

TTLV100 - Choc thermique dans un tuyau avec condition d'échange

Résumé :

Ce test de thermique linéaire transitoire consiste à imposer un choc thermique froid sur un cylindre creux supposé infini à l'aide d'une condition limite d'échange.

Le choc est modélisé par une rampe linéaire $\Delta T = -269^\circ C$ en 12 s .

Le problème est traité en axisymétrique et en 3D.

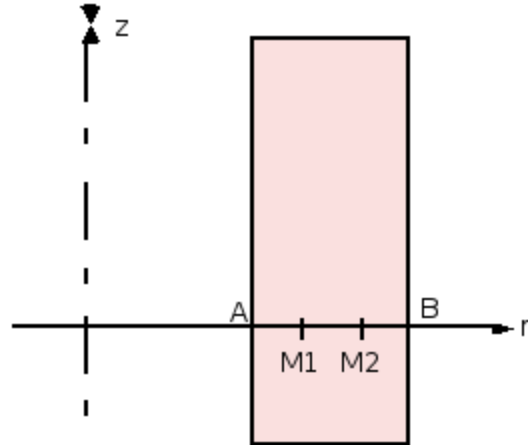
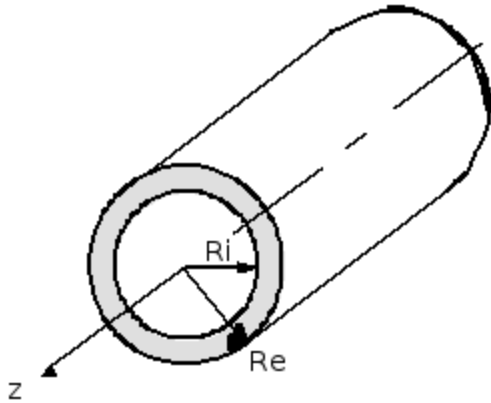
La solution de référence est obtenue sur un maillage fin.

Le test est effectué sur 3 modélisations : (TRIA3, QUAD4), (TRIA6, QUAD9) en AXIS_DIAG et (HEXA8, PENTA6) en 3D_DIAG.

On teste l'algorithme de thermique linéaire transitoire lorsque la matrice de masse est diagonalisée (modélisation AXIS_DIAG et 3D_DIAG avec "mass lumping").

1 Problème de référence

1.1 Géométrie



$$R_i = 417 \text{ mm}$$

$$R_e = 496 \text{ mm}$$

$$r(A) = 417 \text{ mm}$$

$$r(B) = 496 \text{ mm}$$

$$r(M1) = 443.43 \text{ mm}$$

$$r(M2) = 469.67 \text{ mm}$$

1.2 Propriétés de matériaux

$$\lambda = 19.97 \text{ W/m}^\circ\text{C}$$

$$\rho C_p = 4.89488 \cdot 10^6 \text{ J/m}^3 \cdot ^\circ\text{C}$$

1.3 Conditions aux limites et chargements

$$\text{Echange } \lambda \frac{\partial T}{\partial n} \Big|_{r=r_i} = h (T_{ext} - T(r, t))$$

$$h = 40000 \text{ W/m}^2 \cdot ^\circ\text{C}$$

avec $T_{ext}(A)_{t=0s} = 289 \text{ }^\circ\text{C}$
 $T_{ext}(A)_{t=12s} = 20 \text{ }^\circ\text{C}$

1.4 Conditions initiales

$$T(r, 0) = 289 \text{ }^\circ\text{C} \text{ pour tout } r$$

Discrétisation en temps (t) :

12	pas pour	[0., 12.]	soit	$\Delta t = 1. s$
2	pas pour	[12., 20.]	soit	$\Delta t = 4. s$
4	pas pour	[20., 100.]	soit	$\Delta t = 20. s$
2	pas pour	[100., 200.]	soit	$\Delta t = 50. s$
2	pas pour	[200., 400.]	soit	$\Delta t = 100. s$
8	pas pour	[400., 2000.]	soit	$\Delta t = 200. s$

2 Solution de référence

2.1 Méthode de calcul utilisée pour la solution de référence

La solution de référence est obtenue sur un maillage fin comportant 99 éléments quadratiques QUAD8 dans l'épaisseur sans option de matrice de masse thermique diagonale.

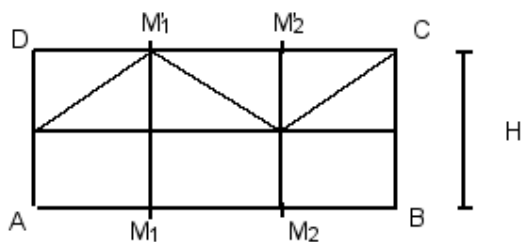
2.2 Résultats de référence

Températures aux points $M1$ ($r = 443.33$) et $M2$ ($r = 469.67$),
et à différents instants ($t = 12.$, $100.$, $600.$ et $2000.$).

3 Modélisation A

3.1 Caractéristiques de la modélisation TRIA3, QUAD4

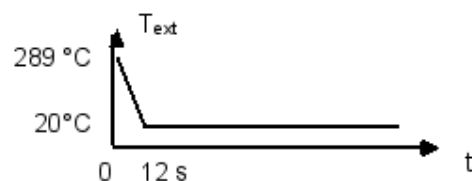
Le cylindre étant supposé infini, on ne maille qu'une tranche de hauteur $H = 40 \text{ mm}$ avec 2 couches d'éléments.



Conditions limites

sur [AB], [BC] et [CD] : flux nul

sur [AD] : échange h, T_{ext}



points	nœuds	r	z
M1	N10	443.33	0.0
M2	N5	469.67	0.0
M'1	N11	443.33	40.
M'2	N7	469.67	40.

Conditions initiales
 $T = 289 \text{ °C}$

3.2 Caractéristiques du maillage

Nombre de nœuds : 12
Nombre de mailles et types : 3 QUAD4, 6 TRIA6

3.3 Grandeurs testées et résultats

Identification	Référence	Aster	% différence
M1 (r = 443.33)			
t = 12.	288.64	282.63	-2.08
t = 100.	202.76	199.84	-1.44
t = 600.	93.027	92.821	-0.22
t = 2000.	29.419	29.865	+1.51
M2 (r = 469.67)			
t = 12.	289.00	288.84	-0.06
t = 100.	275.04	268.63	-2.32
t = 600.	143.00	142.74	-0.18
t = 2000.	35.858	36.629	+2.15
M'1 (r = 443.33)			
t = 12.	288.64	283.09	-1.92
t = 100.	202.76	206.66	+1.92
t = 600.	93.027	93.731	+0.76
t = 2000.	29.419	29.988	+1.93
M'2 (r = 469.67)			
t = 12.	289.00	288.82	-0.06
t = 100.	275.04	267.66	-2.68

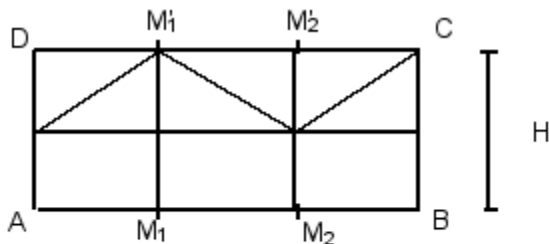
t = 600.	143.00	141.57	-1.00
t = 2000.	35.858	36.470	+1.71

4 Modélisation B

4.1 Caractéristiques de la modélisation

TRIA6, QUAD9

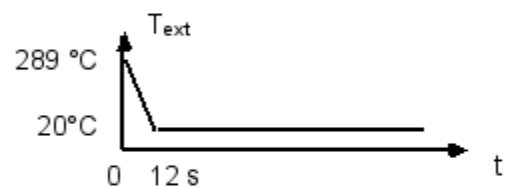
Le cylindre étant supposé infini, on ne maillle qu'une tranche de hauteur $H = 40\text{ mm}$ avec 2 couches d'éléments.



Conditions limites

sur [AB], [BC] et [CD]: flux nul

sur [AD]: échange h, T_{ext}



points	nœuds	r	z
M1	N25	443.33	0.0
M2	N9	469.67	0.0
M'1	N28	443.33	40.
M'2	N1	469.67	40.
	6		

Conditions initiales
 $T = 289\text{ °C}$

4.2 Caractéristiques du maillage

Nombre de nœuds : 35
Nombre de mailles et types : 3 QUAD9, 6 TRIA6

4.3 Grandeurs testées et résultats

Identification	Référence	Aster	% différence
M1 (r = 443.33)			
t = 12.	288.64	286.80	-0.63
t = 100.	202.76	202.25	-0.25
t = 600.	93.027	92.955	-0.08
t = 2000.	29.419	29.524	+0.36
M2 (r = 469.67)			
t = 12.	289.00	288.99	+0.00
t = 100.	275.04	273.35	-0.61
t = 600.	143.00	142.99	-0.00
t = 2000.	35.858	36.050	+0.54
M'1 (r = 443.33)			
t = 12.	288.64	287.13	-0.52
t = 100.	202.76	205.35	+1.28
t = 600.	93.027	93.378	+0.38
t = 2000.	29.419	29.580	+0.55

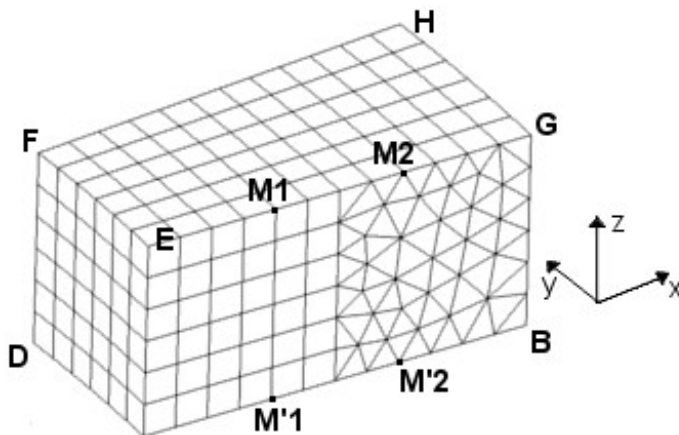
M ² (r = 469.67)			
t = 12.	289.00	288.99	+0.00
t = 100.	275.04	272.65	-0.87
t = 600.	143.00	142.39	-0.43
t = 2000.	35.858	35.972	+0.32

5 Modélisation C

5.1 Caractéristiques de la modélisation

TRIA6, QUAD9

Le cylindre étant supposé infini, on ne maillle qu'une tranche de hauteur $H = 40\text{ mm}$ avec 2 couches d'éléments.

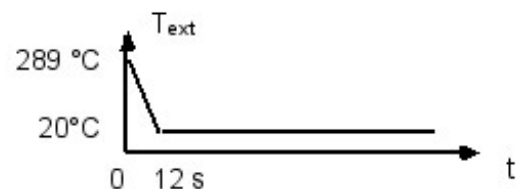


points	A	nœuds	x	y	z
M1		N179	443.33	0.0	20.0
M2		N616	469.67	0.0	20.0
M'1		N384	443.33	0.0	-20.0
M'2		N325	469.67	0.0	-20.0

Conditions limites

sur face [AEFD] : échange h, T

sur les autres faces : flux nul



Conditions initiales
T = 289 °C

5.2 Caractéristiques du maillage

Nombre de nœuds : 637

Nombre de mailles et types : 216 HEXA8, 432 PENTA6

5.3 Grandeurs testées et résultats

Identification	Référence	Aster	% différence
M1 (r = 443.33)			
t = 12.	288.64	286.08	-0.88
t = 100.	202.76	199.12	-1.80
t = 600.	93.027	92.43	-0.64
t = 2000.	29.419	29.34	-0.17
Température max	289.00	289.00	0
M2 (r = 469.67)			
t = 12.	289.00	289.00	0
t = 100.	275.04	272.79	-0.82
t = 600.	143.00	141.96	-0.72
t = 2000.	35.858	35.77	-0.24
M'1 (r = 443.33)			
t = 12.	288.64	286.08	-0.88
t = 100.	202.76	199.04	-1.83
t = 600.	93.027	92.42	-0.65

t = 2000.	29.419	29.37	-0.17
M'2 (r = 469.67)			
t = 12.	289.00	289.00	0
t = 100.	275.04	272.80	-0.81
t = 600.	143.00	141.97	-0.72
t = 2000.	35.858	35.77	-0.24

6 Synthèse des résultats

La modélisation `AXIS_DIAG` donne des résultats assez satisfaisants. Bien que le maillage ne comporte que 3 éléments dans l'épaisseur, l'écart sur les températures reste inférieur à 2.7 %.

La modélisation `3D_DIAG` donne des résultats satisfaisants. L'écart sur les températures reste inférieur à 2 %.

Malgré la violence du choc thermique, la diagonalisation de la matrice de masse permet d'obtenir une solution en température qui n'oscille pas pendant le transitoire.